

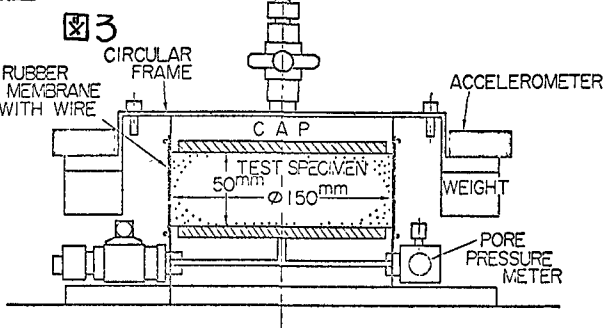
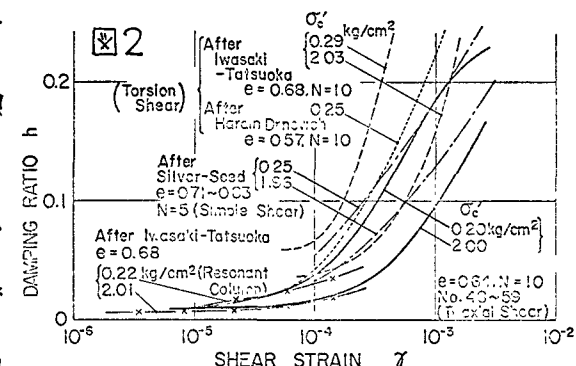
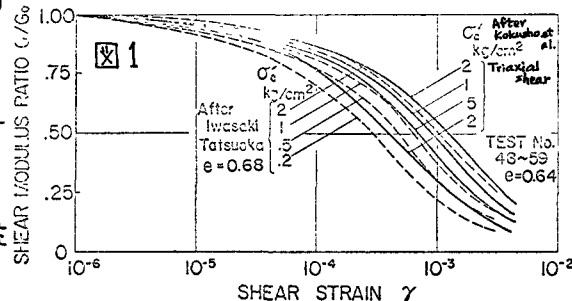
# 低拘束圧下の砂の動的物性と模型振動実験に適用される相似則

(財)電力中央研究所 正 国生 岬治

**まえがき** 土質材料の微小振動に対応した弾性的な物性値は土の受けている有効拘束圧と直線的に大きく依存することが、1960年代に行なわれた多くの共振式土壤試験により明らかになった。一方、土の動的物性のひずみレベルに依存した非線形的性質は Hardin-Drnevich<sup>(1)</sup>と岩崎龍一・高木<sup>(2)</sup>により中空円筒供試体を用いたくり返しへりせん断試験機により調べられた。さらに Silver-Seed<sup>(3)</sup>は単純せん断装置により、国生-大井<sup>(4)</sup>は三軸せん断装置により同じ目的の研究を行なっている。きれいなひずみについてこれらの実験から得られた結果を要約すると; (i) 土の微小振動時のせん断剛性  $G$  は有効拘束圧  $\sigma'_m$  の 0.4 ～ 0.5 楽に正比例して増加する、すなわち  $G \propto (\sigma'_m)^{0.4 \sim 0.5}$  ①, (ii)  $G$  は直線比に依存し、その影響はほぼ  $G \propto F(e) = \frac{(2.17 - e)^2}{1 + e}$  ② により評価できる、(iii) せん断剛性  $G$  は土に生ずるせん断ひずみ  $\gamma$  が大きくなるにしたがい明確に低下し、その割合は直線比によっては大きな違いはないが、拘束圧には大きく依存し、図 1 に示すように拘束圧が小さくなるほど小さなせん断ひずみから  $G$  の低下が始まる傾向が見られる、(iv) 土の減衰定数  $\eta$  は  $\gamma$  が大きくなるにしたがい急激に増大し、その割合は直線比によつては大きな違いはないが、拘束圧には大きく依存し、図 2 に示すように拘束圧が小さくなるほど小さなひずみから  $\eta$  の上昇が始まる傾向が見られる。

これらの結果からわかるように拘束圧は土の物性を決定する重要な因子であるが、従来の実験はすべて  $0.2 \text{ kg/cm}^2$  以上の拘束圧で行なわれたものでありそれ以下の低拘束圧での土の動的物性試験は例が少ない。低拘束圧下の土の物性は路面表面の安定性、地盤振動の障害問題、模型振動実験などの工学的问题に重大な関連がある。 $0.2 \text{ kg/cm}^2$  以下の拘束圧での試験は通常の土質試験機では困難な場合が多い。本実験では機械まさつなどの無い単純な自由振動式ねじりせん断試験装置を作り、乾燥砂についての  $\sigma'_m = 0.02 \sim 0.2 \text{ kg/cm}^2$  の低拘束圧での物性試験を行なった。さらに得られた結果に基き、土質材料を用いた振動実験に関して筆者が以前に提案した模型相似則<sup>(5)</sup>に検討を加えた。

**低拘束圧物性試験** 実験装置の概要を図 3 に示す。供試体は直径  $150 \text{ mm}$  高さ  $50 \text{ mm}$  のワイヤー入りゴム膜の中に作成され、上からリレーブ状の重りにより側方拘束状態で 1 次元圧縮される。ねじり振動試験はこの重りを回転マスとし、手により回転トルクを加えて放し、その後の減衰振動を計測した。振動周波数は図 4 に示



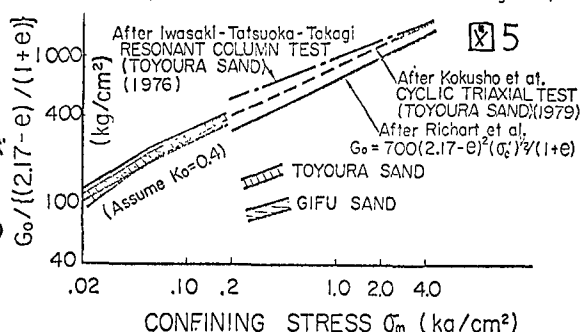
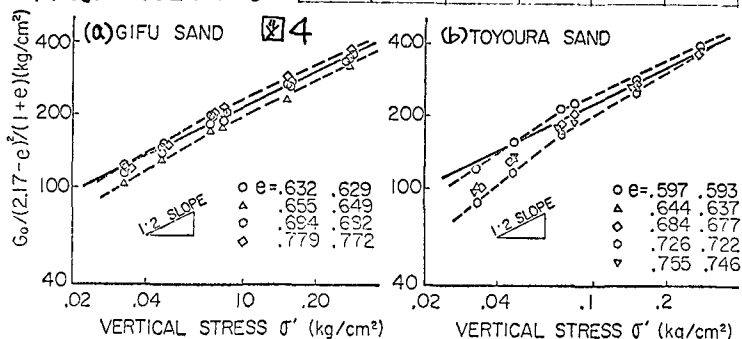
すように重り取付枠の対角上の2箇に加速度計を取り付けて行ない、測定振動の記録から波長と振巾を読みとりひびきのせん断剛性と減衰定数を求めた。実験はひとつの供試体について異なる重量と回転慣性をもつ6種の重りを用いて低い拘束圧から高い方へ順次行ない、各圧力では1時間以上の圧密時間と置いた。円柱供試体はせん断ひびきは中心からの距離に比例しており一定値とはならないが微小ひびき時には向應とはならない。物性のひびき依存的変化を求める場合にはこの点が大きな問題となるがここでは便宜的に供試体半径7.5 cmに対し中心から5 cmの位置でのひびきを代表値にとった。用いた乾燥砂は表-1に示す岐阜砂と豊浦砂で、両者ともマサキ山砂で類似しているが、前者の方が粒径が大きく多少細め固め難い点が特徴である。

**実験結果** 図4はせん断ひびき $\gamma$ が $10^6$ 以下の微小ひびきでのせん断剛性 $G_0$ の鉛直応力 $\sigma'_v$ に対する関係を示したもので、 $G_0$ に対する間隔比 $e$ の影響を除くため式(2)の $F(e)$ により横軸と補正してある。間隔比の異なる各点は破線にはさまれた範囲に集まっているが、 $\sigma'_v \geq 0.7 \text{ kg/cm}^2$ の範囲では実線で示した勾配にはほぼ一致しているのに対し、 $\sigma'_v$ がそれ以下ではより大きな勾配となっていることがわかる。また間隔比が大きいほど勾配も大きく、砂によっても多少傾向が異なる。これを拘束圧が $0.2 \text{ kg/cm}^2$ 以上の従来の試験結果と図5において比較している。ここに本実験での横方向土圧係数 $K_0$ は0.4と仮定した。 $\sigma'_m = 0.2 \text{ kg/cm}^2$ での本実験の $G_0$ は他の研究者の値とほぼ合っており、特に三軸試験<sup>(4)</sup>での値とは完全に一致している。図6は供試体にある程度大きなひびきを与えた場合にその測定振動から得られた $G/G_0$ と $\log \gamma$ との関係である。自由振動式の実験ではあまり大きなひびきレベルまでは物性値が得られず $G/G_0 > 0.5$ が限度であることがわかる。AからFへ行くほど $\sigma'_v$ は大きくなり、それにつれて図中にひいた平均的カーブは $G/G_0$ が両者共に平行的に右側にずれしていく様子が明確に見られる。この傾向をさらに詳細に検討するために $G/G_0$ が0.5から0.9の値をとる点との値を横軸に $\sigma'_v$ の値と横軸にとって表わしたのが図7(a)の左側2つのグラフである。同様に $\sigma'_v$ が0.10から0.04の値をとる点との関係をプロットしたのが図7(b)の左側2つのグラフである。一方図1と図2に示した通常拘束圧での物性カーブから同様にして $\sigma'_v$ と拘束圧 $\sigma'_m$ の関係を求めた結果が図7の右側上下2つのグラフである。低拘束圧試験より求めた両対数グラフ上の $G/G_0 =$

一定と $\sigma'_v = \text{一定}$ の各点は相互にほぼ平行であり、 $\sigma'_v$ が比較的小さい場合と $G/G_0$ が大きい場合を除いて図中に記入した勾配の実線によりほぼ近似できることがわかる。通常拘束圧での試験結果もグラフ上でほぼ1/2勾配の線上にのっていることが図からわかるが、

実は2つの拘束圧範囲が重複する $\sigma'_m \div 0.2 \text{ kg/cm}^2$ での $G/G_0 = \text{一定}$ の線および $\sigma'_v = \text{一定}$ の線の一致度は必ずしも良くない。しかしこれは実験手法の違いや本実験で $\sigma'_v$ を定める供試体中の位置などに問題があるため本来は一致するものと考えられる。0.02～3  $\text{kg}/\text{cm}^2$ の低い拘束圧範囲で $\sigma'_v$ がほぼ1/2勾配の平行線に一致するという以上の結果から、横軸に $\log \gamma$ をとった半対数グラフ上で $G/G_0$ と $\sigma'_v$ のか

SAND	$\epsilon_v$	$D_{50}$	$U_c$	$c_{max}$	$c_{min}$
	SPECIFIC GRAVITY	MILANER, SET	INTEGRITY TESTIFICATION	MAX VOID RATIO	MIN VOID RATIO
GIFU	2.67	0.29 mm	1.8	0.762	0.656
TOYOURA	2.64	0.19 mm	1.3	0.925	0.622



$\beta$ が $G_m'$ の変化によってその基本的形状は変化せずにその位置のみがグラフ上を左右に平行移動すること、その移動量は $G_m'$ のはば $\lambda$ 乗に出力することが明らかとなる。これはさらに $G/G_0$ と $\beta$ に対する依存性がカーブの形を表す関数 $F_1, F_2$ により  $G/G_0 = F_1(\beta/\beta_r)$  ③,  $\lambda = F_2(\beta/\beta_r)$  ④ のごとく表わされ、かつ $\mu \propto (G_m')^{1/2}$ であることを意味している。ここに $\mu$ はカーブの位置を決める規準となるひずみであり、Hardin-Drnevich モデル<sup>(1)</sup>では  $G/G_0=0.5$ に対応した $\mu$ をとっていることは周知のとおりである。

**模型相似則** 振動台用いた土構造物や地盤の模型実験はよく行なわれているが、模型での拘束圧が $0.2 \text{ kg/cm}^2$ 以下と実物に比べて非常に低く物理を把握し難いために相似則の適用を放棄して定性的実験に甘んじているのが実情である。筆者は以前に乾燥地盤の模型振動実験を行ないその際に実地盤との間に相似則が成立する可能性を示したが、模型地盤中における低い拘束圧に対応した今回の実験結果に基きこの相似則を再度検討してみる。図8に示すように成層地盤に基盤より水平地盤が加わる場合を考え、地盤の振動応答に関する物理量として地盤厚 $H$ 、せん断剛性 $G, G_0$ 、内部減衰定数 $\alpha$ 、地盤密度 $\rho$ 、せん断応力 $\tau$ 、せん断ひずみ $\gamma$ 、基準ひずみ $\gamma_r$ 、振動数 $\omega$ 、加速度 $a$ をとる。これに対し1次元として質量 $M$ 、時間 $T$ をとり長さについて鉛直方向に $L_v$ 、水平方向に $L_h$ と分けてとる。このようにすることにより本来無次元量であるひずみ $\gamma$ が相似縮尺可能な有次元量となるわけである。その場合 Buckingham の次元マトリクスは式⑤のようになりそのランクは4であるから  $10-4=6$  の無次元積が例えれば次のように定まる。

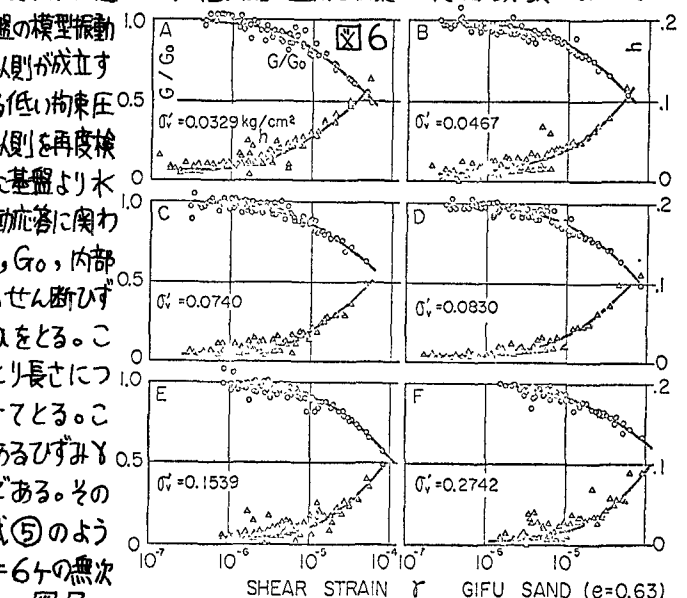
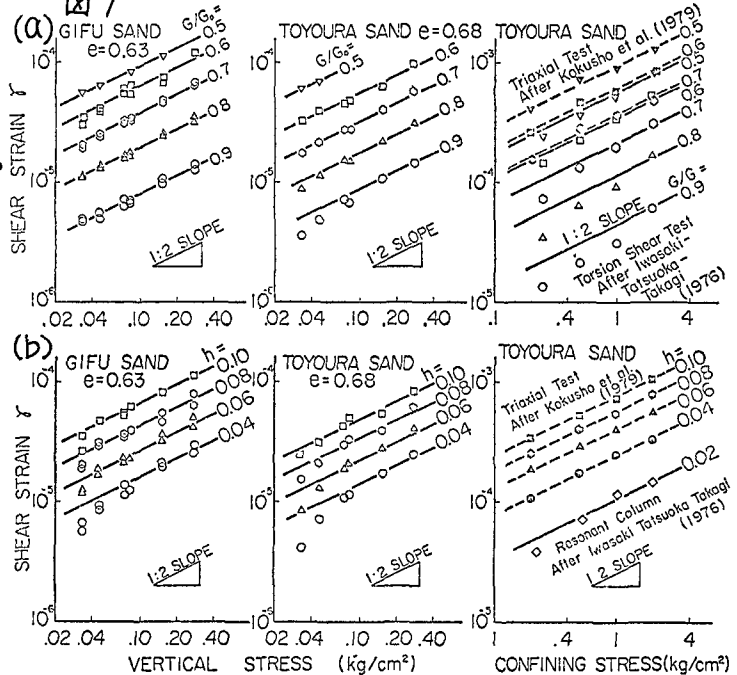
$$\begin{aligned}\Pi_1 &= \lambda, \quad \Pi_2 = \gamma/\gamma_r, \quad \Pi_3 = G/G_0 \\ \Pi_4 &= G_0/\rho\omega^2 H^2, \quad \Pi_5 = \tau/G_0 \gamma \\ \Pi_6 &= \alpha/\gamma \omega^2 H. L_v \text{の縮尺を入}, \\ L_h \text{の縮尺を } \mu \text{ (キ入) と別々にとる} \\ \text{さて, 土の密度の縮尺を } \rho_m/\rho_p = \eta \\ \text{とすると実地盤とモデル地盤と土の受けける拘束圧の縮尺は } \mu \text{ となるが, 図} \\ \text{5に示すように模型地盤を含む広い拘束圧範囲で } G_0 \text{ が拘束圧のはば } \lambda \text{ 乗に比例していることを前提とすると} \\ G_{0m}/G_{0p} &= \sqrt{\mu} \text{ が成立立つ。したがって無次元積 } \Pi_4 \text{ が実物と模型で等しくなることから } \omega_m/\omega_p = \eta^{1/4-3/4} \\ \text{が得られる。 } \gamma_m/\gamma_p &= \mu^{-1} \text{ であるから } \Pi_5 \text{ より } \tau_m/\tau_p = \eta^{1/2} \mu^{-1/2} \text{ となり, さらに } \Pi_6 \text{ より } \alpha_m/\alpha_p = \eta^{-1/2} \mu^{-3/2} \text{ となる。さて } \Pi_2 \text{ から } \mu \text{ の縮尺は } \mu \text{ と同様に}\end{aligned}$$


図6 SHEAR STRAIN  $\gamma$  Gifu SAND ( $e=0.63$ )



$\gamma_m/\gamma_p = \mu \lambda^{-1}$  でなければならないが、一方図7に示す実験結果より模型地盤に相当する低い圧力を含む広い拘束圧範囲で  $\gamma_m/\gamma_p$  は拘束圧のほぼ  $1/2$  倍に比例していることが明らかであり  $\gamma_m/\gamma_p = \sqrt{\lambda}$  が成立する。 $\gamma_p$  が同時に2つの式を満足するための条件から結局  $\mu = \lambda^{1/2} \lambda^{3/2}$  が求められる。これを代入することにより最終的に  $G_{om}/G_{op} = \lambda^{1/2}$ ,  $\rho_m/\rho_p = 1/1$ ,  $\omega_m/\omega_p = \lambda^{-1/4}$ ,  $a_m/a_p = 1/1$ ,  $\tau_m/\tau_p = \lambda^{-1}$ ,  $\gamma_m/\gamma_p = \lambda^{1/2}$  が成立すべき相似則として得られる。ここで問題なのは減衰比の相似条件である。内部減衰についても上述の相似則の中に考慮されているが、下方基盤への遮蔽減衰は実地盤と振動台上の模型地盤で等しいとは考え難い。しかし振動台の波形を実地盤の基礎との実測波形であると解釈できる場合には問題は生じないことになる。例として地盤厚の比が  $H_m/H_p = \lambda = 1/16$ , 密度の比が  $\rho_m/\rho_p = \eta = 1$  の場合を考えると  $\omega_m/\omega_p = 8$ ,  $G_{om}/G_{op} = 1/4$ ,  $\gamma_m/\gamma_p = 1/4$ ,  $\tau_m/\tau_p = 1/16$ ,  $a_m/a_p = 1/1$  となる。すなわち実地盤と同じ材料を用い、厚さを  $1/16$  に縮尺したモデル地盤について時刻軸を  $1/8$  に短縮した振動台実験を行なえばそれは実地盤の振動特性を非線形性をも含めて定量的に表現していることになる。この場合モデルに生ずるひずみ  $\gamma$  は実物の  $1/4$  になるが、規準ひずみ  $\gamma_p$  も拘束圧の違いによりほぼ  $1/4$  になることが今回の実験により裏づけられているので  $\gamma$  の値は同じになり、式③式④から明らかなようにモデルと実物でせん断剛性と減衰定数にあってもまた同一の非線形的変化が生じるわけである。以上の議論は地盤の1次元振動に限られていたが、次元解析に用いる1次量をさらに広義に解釈して式⑤の  $L_r$ ,  $L_a$  のかわりに地盤の幾何学的形状に応する長さを  $L_g$ , 变形に応する長さを  $L_d$  と選ぶことにより2次元、3次元の一般的な場合に対してまたく同様な相似則を導くことが可能である。

密度の縮尺を1とした場合この相似則を Clough-Pirby の相似則と比較し表2に示した。Cloughらの相似則は自重による力、慣性力、変形に寄する力、および破壊に関する力の間の相対的比を模型と実物で一定にすることにより求められるが、ひずみに対して縮尺を認めていないため  $G$  に関する縮尺が入ってしまう。したがって実物と同一の材料を用いた模型についての振動実験には特に破壊に至らない線形および非線形振動の場合に適さない面があると思われる。

なお今回の相似則を導くに当っては  $G$  は拘束圧  $\sigma'_m$  の  $1/2$  倍に比例することを前提としたが、図5に示すとおり  $\sigma'_m < 0.04 \text{ kg/cm}^2$  では  $\sigma'_m$  のべき乗数は  $1/2$  より大きくなる傾向が見られる。この拘束圧は模型地盤では約  $40 \text{ cm}$  より浅い部分に相当するが、そこでは相似則からのずれが大きくなる可能性が考えられる。これを修正するためには表層に近い部分ほど土質材料の密度を大きくして  $G$  を高める工夫が必要となろう。その場合密度の比率が1ではなくなるがその差はわずかであり  $G$  とのひずみ依存力  $\gamma$  に与える影響は少ないとえよう。

- 参考文献 (1) Hardin-Drnevich (1970) "Shear Modulus and Damping in Soils" I, II University of Kentucky, (2) 岩崎・龍岡・高木 (1976) 「広範囲な歪領域での...」土研資料 No.1080, (3) Silver-Seed (1971) "Deformation Characteristics of..." Proc. ASCE SM8, (4) 国生-櫻井-江利 (1979) 「三軸装置を用いた微小ひずみから...」電研報告, (5) Richter-Hall-Woods (1970) "Vibrations of Soils and Foundations" Prentice-Hall, (6) 国生-岩崎 (1979) 「車輪荷重地盤の非線形震動特性についての...」土木学会論文集 No.285, (7) Clough-Pirby (1958) "Earthquake Resistance of..." Trans. of ASCE Vol.123

$$(5) \begin{bmatrix} H & \rho & G & G_0 & \tau & \omega & a & \tau & \gamma & \gamma_r \\ L_r & \begin{bmatrix} 1 & -1 & 1 & 1 & 0 & 0 & 0 & 0 & -1 & -1 \\ 0 & -2 & -2 & -2 & 0 & 0 & 1 & -1 & 1 & 1 \\ 0 & 1 & 1 & 1 & 0 & 0 & 0 & 1 & 0 & 0 \\ T & 0 & 0 & -2 & -2 & 0 & -1 & -2 & -2 & 0 & 0 \end{bmatrix} \end{bmatrix}$$

	H	G	w	a	$\tau$	$\gamma$
今回の相似則	$\lambda^{1/2}$	$\lambda^{3/4}$	1	$\lambda^{1/2}$		
Cloughの相似則	$\lambda$	$\lambda$	$\lambda^{1/2}$	1	$\lambda^{1/2}$	1

#### ACTUAL GROUND

$G_0$ : Shear Modulus

$\rho_p$ : Density

$\tau_p$ : Damping Ratio

$\tau_p$ : Shear Stress

$\gamma_p$ : Shear Strain

図8

